

ОСОБЛИВОСТІ ЕНЕРГЕТИЧНОГО СПЕКТРА ЕЛЕКТРОНА В ЕЛІПТИЧНОМУ КВАНТОВОМУ ДРОТІ ТА ЕЛІПТИЧНІЙ НАНОТРУБЦІ

В. А. Головацький, В. І. Гуцул
Чернівецький національний університет ім. Ю. Федьковича
58012, Чернівці, вул. Коцюбинського, 2
(Отримано 10 травня 2006 р.; в остаточному вигляді — 12 вересня 2006 р.)

У наближенні ефективної маси досліджено спектр електрона в еліптичному квантовому дроті (ЕКД) та еліптичній напівпровідниковій нанотрубці (ЕНН). Отримано точний енергетичний спектр електрона в ЕКД і ЕНН GaAs з непроникними стінками та наближені розв'язки рівняння Шредингера при скінченній висоті потенціального бар'єра в ЕКД GaAs/Al_xGa_{1-x}As. Показано, що еліптичність квантового дроту й нанотрубки знімає виродження енергетичного спектра квазічастинок. Залежність енергій парних та непарних станів від співвідношення півосей еліпса має немонотонний характер. У граничному випадку виродження еліптичних квантових дротів та нанотрубок у кругові, енергетичний спектр квазічастинок збігається з відповідними спектрами в циліндричних наносистемах.

Ключові слова: спектр розмірного квантування, еліптичний квантовий дріт, еліптична нанотрубка.

PACS number(s): 68.65.Hb, 68.65.La, 74.25.Kc, 79.60.Jv

І. ВСТУП

Теоретичні дослідження енергетичного спектра квазічастинок у наносистемах, що виконуються в межах наближення ефективних мас, зводяться до розв'язання рівняння Шредингера з потенціалом розмірного квантування, форма якого визначається геометрією наносистеми. У найпростіших випадках для сферичних квантових точок та циліндричних квантових дротів у моделі прямокутного потенціалу існують точні енергетичний спектр і хвильові функції квазічастинок. На основі аналітичних виразів для хвильових функцій квазічастинок у напівпровідникових наногетеросистемах будують наближені розв'язки складніших задач [1]. Геометрична форма нанодротів та нанотрубок, що отримуються в реальних експериментальних умовах, не завжди є циліндричною [2–5], це значно ускладнює їх теоретичне дослідження. Особливий інтерес серед них останнім часом викликають еліптичні наносистеми. Наприклад, у роботі [2] вирошено еліптичні напівпровідникові нанодроїти, про що свідчить зображення їх поперечного перерізу. У праці [6] вивчено умови стабільності еліптичних нанодротів, отриманих у результаті однісної деформації. Результати досліджень еліптичних наноструктур можуть бути корисними для опису фізичних явищ, що виникають у циліндричних квантових дротах вирошених з анізотропних напівпровідникових матеріалів. Автори статті [7] показали, що задача розмірного квантування квазічастинки з анізотропною ефективною масою в циліндричній квантовій ямі зводиться до задачі для квазічастинки з ізотропною ефективною масою в еліптичній потенціальній ямі.

Велике зацікавлення дослідників напівпровідниковими нанотрубками, про що свідчить поява великої кількості експериментальних і теоретичних праць,

викликана можливістю створення на їх основі квантових транзисторів і вискоефективних світловопромінювачів. Розроблені технології вирощування напівпровідникових нанотрубок дають змогу отримувати нанотрубки з різною геометрією поперечного перерізу [3,8]. Розрахунок спектрів розмірного квантування квазічастинок у циліндричних напівпровідникових нанотрубках можна виконувати згідно з загальною теорією, побудованою для складних квантових дротів [1]. Теорії спектрів розмірного квантування носіїв заряду в еліптичних нанотрубках на сьогодні не існує, хоча такі наносистеми можна вирощувати методом селективного епітаксійного росту [3] або отримувати внаслідок деформації з відповідних циліндричних нанотрубок.

Отже, задача розрахунку спектра розмірного квантування квазічастинок в еліптичних наносистемах є актуальною. Про це також свідчать недавні теоретичні дослідження різних авторів [9–11]. Для еліптичної потенціальної ями з безмежно високими стінками й довільною величиною ексцентриситету існують точні розв'язки рівняння Шредингера як для 3-вимірної (еліптична квантова точка) [9], так і для 2-вимірної (еліптичний квантовий дріт) [10] випадків, що отримуються в результаті числових розрахунків. Коли ексцентриситет еліпса достатньо малий, то можна застосувати теорію збурень граничних умов [12] або варіаційний метод із варіаційним параметром у гамільтоніані [11]. Для спектра розмірного квантування в еліптичній квантовій точці в першому порядку теорії збурень отримуємо простий аналітичний вираз для поправок, що враховують деформацію сферичної безмежно глибокої потенціальної ями [12]. Для 2-вимірної випадку розрахунок подібних поправок є не простішим, ніж знаходження точного розв'язку задачі.

Якщо напівпровідникова еліптична наногетеросистема описується потенціальною ямою скінченної глибини і квазічастинка характеризується різними значеннями ефективної маси всередині й зовні наносистеми, то розрахунок спектрів розмірного квантування квазічастинок значно ускладнюється. Перші спроби таких розрахунків виконували для еліптичних квантових точок HgS/CdS варіаційним методом [11]. Цей метод можна також застосувати і для квантових дротів з малою анізотропією. У роботі [10] автори спробували на основі функції Мат'є побудувати точні розв'язки рівняння Шредингера для квантового дроту зі скінченною висотою потенціального бар'єра на еліптичній межі. Але, як справедливо зазначено в праці [13], такі розв'язки будуть точними лише для безмежно глибокої квантової ями чи виродження еліпса в коло. У роботі [13] отримано енергетичний спектр електрона в ЕКД як результат числового розв'язування диференціального рівняння методом сіток і наведено його залежність від співвідношення півосей (a/b). На жаль, у праці не зіставлено цей спектр із результатами статті [10], що дало б змогу оцінити точність розв'язків [10] і визначити сферу їх можливого застосування.

У цій роботі досліджено енергетичний спектр електронів в ЕКД і ЕНН, щоб простежити еволюцію цього спектра залежно від геометричних параметрів досліджуваних наносистем. Оскільки для створення світловипромінювальних напівпровідникових приладів найліпшим матеріалом є прямозонний GaAs, то саме параметри цього матеріалу використані в числових розрахунках.

II. ГАМІЛЬТОНІАН СИСТЕМИ ТА РОЗВ'ЯЗОК РІВНЯННЯ ШРЕДИНГЕРА

Розгляньмо еліптичний квантовий дріт GaAs (середовище 0), поміщений у напівпровідникову чи діелектричну матрицю (середовище 1). Систему координат виберімо так, що вісь Oz спрямована вздовж дроту. Потенціальна енергія і ефективна маса електрона в декартових координатах матимуть вигляд

$$\mu(x, y) = \begin{cases} \mu_0, & x^2/a^2 + y^2/b^2 \leq 1, \\ \mu_1, & x^2/a^2 + y^2/b^2 > 1, \end{cases} \quad (1)$$

$$U(x, y) = \begin{cases} 0, & x^2/a^2 + y^2/b^2 \leq 1, \\ V, & x^2/a^2 + y^2/b^2 > 1, \end{cases} \quad (2)$$

де a і b — півосі еліпса.

У напрямку вздовж квантового дроту електрон рухається вільно. Внаслідок тунельного ефекту хвильова функція квазічастинки проникає в середовище 1 і доля енергії, що зумовлена поздовжнім рухом електрона, має вигляд $E_z = \hbar^2 k_z^2 / 2\mu^*$, де μ^* — усереднена ефективна маса, яка у випадку безмежних потенціальних бар'єрів збігається з μ_0 .

Енергію, зумовлену поперечним рухом електрона, знаходимо з розв'язку рівняння Шредингера, яке у

загальному випадку координатно залежної маси має вигляд

$$-\frac{\hbar^2}{2} \nabla \frac{1}{\mu(x, y)} \nabla \Psi(x, y) + U(x, y) \Psi(x, y) = E \Psi(x, y). \quad (3)$$

Підставляючи (1) і (2) в рівняння (3), отримаємо для кожного середовища такі рівняння:

$$\nabla^2 \Psi^{(i)}(x, y) + k_i^2 \Psi^{(i)}(x, y) = 0, \quad (i = 0, 1), \quad (4)$$

де $k_i^2 = 2\mu_i(E - V_i)/\hbar^2$, $V_0 = 0$.

Ураховуючи те, що ця наногетеросистема має еліптичну симетрію, рівняння (2.4) зручно розв'язувати в еліптичних координатах (ξ, η, z) , які мають зв'язок із декартовими, за такими співвідношеннями:

$$\left. \begin{aligned} x &= f \cosh \xi \cos \eta, & 0 \leq \xi < \infty \\ y &= f \sinh \xi \sin \eta, & 0 \leq \eta < 2\pi \\ z &= z, & -\infty < z < +\infty \end{aligned} \right\}, \quad (5)$$

де $f = \sqrt{a^2 - b^2}$ — фокусна відстань, ξ виконує роль радіальної координати, а η — кутової. Радіальна координата ξ визначається співвідношенням півосей еліпса ($\tanh \xi = b/a$).

Перейшовши в рівняннях (2.4) від декартових координат до еліптичних, отримаємо

$$\left[\frac{\partial^2}{\partial \xi^2} + \frac{\partial^2}{\partial \eta^2} + \frac{f^2 k_i^2}{2} (\cosh 2\xi - \cos 2\eta) \right] \Psi^{(i)}(\xi, \eta) = 0, \quad (i = 0, 1) \quad (6)$$

Як показано в праці [13], змінні в рівнянні (6) у загальному випадку розділити неможливо, оскільки неможливо забезпечити неперервність хвильової функції на еліптичній межі поділу середовищ. Тому хвильову функцію $\Psi(\xi, \eta)$ треба записувати так:

$$\Psi^{(i)}(\xi, \eta) = \sum_m C_m R_m^{(i)}(\xi) \theta_m^{(i)}(\eta), \quad (7)$$

де $R_m^{(i)}(\xi)$ — радіальна і $\theta_m^{(i)}(\eta)$ — кутова частини, які задовольняють рівняння

$$\partial^2 \theta_m^{(i)}(\eta) / \partial \eta^2 + (c - 2q_i \cos 2\eta) \theta_m^{(i)}(\eta) = 0, \quad (8)$$

$$\partial^2 R_m^{(i)}(\xi) / \partial \xi^2 - (c - 2q_i \cosh 2\xi) R_m^{(i)}(\xi) = 0, \quad (9)$$

де $q_i = f^2 k_i^2 / 4$, c — константа розділення.

Лише у випадку непроникних стінок на межі квантового дроту хвильова функція допускає розділення змінних і такі квантові стани квазічастинки характеризується певним значенням квантового числа m

$$\Psi_m(\xi, \eta) = R_m(\xi) \theta_m(\eta). \quad (10)$$

Рівняння (8) і (9) є характеристичними рівняннями для функцій Мат'є. Їх розв'язками є парна та непарна функції Мат'є першого і другого роду. Оскільки умови періодичності можуть задовольняти лише парна $ce_m(q, \eta)$ та непарна $se_m(q, \eta)$ функції Мат'є першого роду, то кутова частина хвильової функції матиме вигляд

$$\theta_m(q, \eta) = \begin{cases} ce_m(q, \eta), \\ se_m(q, \eta). \end{cases} \quad (11)$$

Розв'язками радіального рівняння (9) є лінійна комбінація парних та непарних модифікованих функцій Мат'є першого і другого роду:

$$R_m^e(q, \xi) = \begin{cases} A_m^e J e_m(q, \xi) + B_m^e N e_m(q, \xi), & q > 0, \\ A_m^e I e_m(q, \xi) + B_m^e K e_m(q, \xi), & q < 0, \end{cases} \quad (12)$$

$$R_m^o(q, \xi) = \begin{cases} A_m^o J o_m(q, \xi) + B_m^o N o_m(q, \xi), & q > 0, \\ A_m^o I o_m(q, \xi) + B_m^o K o_m(q, \xi), & q < 0, \end{cases} \quad (13)$$

де $A_m^e, A_m^o, B_m^e, B_m^o$ — коефіцієнти, що визначаються граничними умовами та умовою нормування.

Модифіковані функції Мат'є, що входять у радіальну хвильову функцію, мають складну залежність від коефіцієнта розділення s , який визначається з умови періодичності кутової частини хвильової функції (10). У граничному випадку, коли еліптичні координати прямують до циліндричних, модифіковані функції Мат'є збігаються з відповідними функціями Бесселя [14,15].

Енергетичний спектр квазічастинки знаходимо, використовуючи граничні умови для хвильової функції. У випадку непроникних стінок для електрона в еліптичному квантовому дроті парна та непарна хвильові функції при $\xi = \xi_0$ дорівнюють нулеві. З умови збіжності хвильових функцій (12, 13) при $\xi = 0$ отримуємо $B_m^e = B_m^o = 0$. Отже, дисперсійні рівняння для знаходження енергій парних та непарних станів електрона з певним значенням квантового числа m матимуть вигляд

$$\left. \begin{aligned} J e_m(q, \xi)|_{\xi=\xi_0} = 0, & \quad m = 0, 1, 2, \dots \\ J o_m(q, \xi)|_{\xi=\xi_0} = 0, & \quad m = 1, 2, \dots \end{aligned} \right\}. \quad (14)$$

Значення $q_{nm}^{e(o)} = f^2 \mu_0 E_{nm}^{e(o)} / 2\hbar^2$, які задовольняють рівняння (14), визначають безмежний набір дискретних енергетичних рівнів квазічастинки $E_{nm}^{e(o)}$, де $n = 1, 2, 3 \dots$ — головне квантове число, яке нумерує порядковий номер кореня відповідного рівняння (14).

Далі дослідимо енергетичний спектр електрона в еліптичній нанотрубці з непроникними стінками. Щоб знайти енергетичний спектр квазічастинок в еліптичній нанотрубці, запишемо граничні умови для парної та непарної радіальних хвильових функцій на зовнішній та внутрішній еліптичних межах. Точні розв'язки рівняння Шредингера можливі тільки тоді, коли еліпси, що визначають внутрішню та зовнішню межі, мають однакову фокусну відстань. Цього вимагає вибрана еліптична система координат, у якій $f = \text{const}$.

У результаті співвідношення півосей (a_0/b_0) внутрішнього та (a_1/b_1) зовнішнього еліпсів буде різним. Хвильові функції парних та непарних станів електрона з певним значенням квантового числа m на внутрішній та зовнішній межі еліптичної нанотрубки дорівнюють нулеві

$$\left. \begin{aligned} A_m^e J e_m(q, \xi_0) + B_m^e N e_m(q, \xi_0) = 0 \\ A_m^e J e_m(q, \xi_1) + B_m^e N e_m(q, \xi_1) = 0 \end{aligned} \right\}, \quad (15)$$

$$\left. \begin{aligned} A_m^o J o_m(q, \xi_0) + B_m^o N o_m(q, \xi_0) = 0 \\ A_m^o J o_m(q, \xi_1) + B_m^o N o_m(q, \xi_1) = 0 \end{aligned} \right\}, \quad (16)$$

де $\xi_0 = \text{artanh}(b_0/a_0)$, $\xi_1 = \text{artanh}(b_1/a_1)$. Отримані системи рівнянь щодо коефіцієнтів $A_m^e, A_m^o, B_m^e, B_m^o$ мають ненульові розв'язки лише при значеннях $q_{nm}^{e(o)}$, які задовольняють відповідні дисперсійні рівняння

$$J e_m(q, \xi_0) N e_m(q, \xi_1) - N e_m(q, \xi_0) J e_m(q, \xi_1) = 0, \quad (17)$$

$$J o_m(q, \xi_0) N o_m(q, \xi_1) - N o_m(q, \xi_0) J o_m(q, \xi_1) = 0. \quad (18)$$

Отже, рівняння Шредингера для електрона в ЕКД та ЕНН з непроникними межами мають точні розв'язки. Модель потенціалу з безмежними стінками можна використовувати тоді, коли енергія досліджуваної частинки значно менша за висоту потенціального бар'єра на межі поділу середовищ, що часто реалізується для напівпровідникових наносистем, поміщених у діелектричне середовище.

Складніша ситуація виникає тоді, коли напівпровідниковий ЕКД чи ЕНН поміщені в напівпровідникову матрицю. Тоді висота потенціального бар'єра V порівняна з величинами найнижчих енергетичних рівнів наносистеми. Застосувати звичайні умови зшивки

хвильових функцій (7) та густин потоків ймовірності, побудованих на основі таких хвильових функцій на еліптичній межі, яка допускає можливість проникнення квазічастинок, дуже складно. Квантові стани в такій наносистемі не характеризуються певним значенням квантового числа m , а є комбінацією станів із різними значеннями m . Виникає питання, скільки доданків необхідно враховувати в розкладі хвильової функції (7). Зрозуміло, що при виродженні еліпса в коло достатньо одного доданка, який і визначає певне значення квантового числа m . При цьому функції Мат'є вироджуються у відповідні функції Бесселя. Отже, збільшення величини співвідношення півосей еліпса a/b вимагає врахування більшого числа доданків у розкладі (7). Щоб визначити, до яких значень величини a/b можна зберігати лише один доданок у розкладі (7), порівняймо енергетичні спектри, отримані в роботах [10] та [13] для електрона в ЕКД з висотою потенціального бар'єра на еліптичній межі $V = 0.75$ eV.

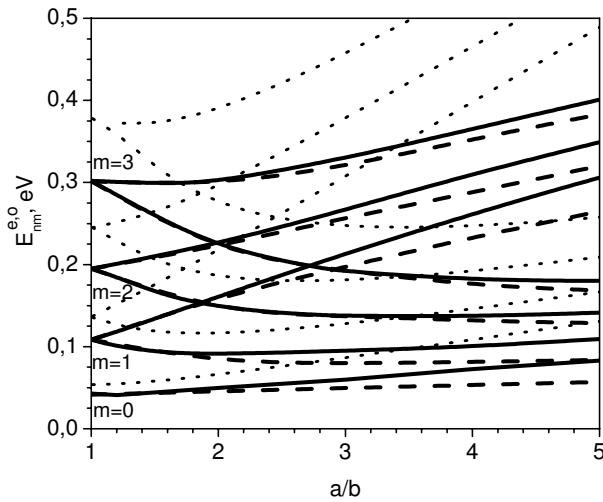


Рис. 1. Залежність енергетичного спектра електрона в ЕКД ($V = 0.75$ eV, $\mu_0 = \mu_1 = 0.041m_e$, $R_0 = \sqrt{ab} = 10$ нм) від співвідношення півосей еліпса a/b . Суцільні лінії — числовий розв'язок диференціального рівняння [13], штрихові — розв'язок дисперсійних рівнянь (19, 20) [10], пунктирні — спектр у безмежно глибокій еліптичній потенціальній ямі.

У праці [13] отримано енергетичний спектр електрона як результат числового розв'язування диференціального рівняння методом сіток. Досліджувана ділянка була поділена на 400×400 прямокутників із таким же співвідношенням сторін, як і співвідношення півосей еліпса. Такий підхід забезпечив високу точність отриманого спектра, зображеного на рис. 1 суцільними лініями. На цьому ж рисунку штриховими лініями показано еволюцію електронного спектра у залежності від величини a/b , одержану в роботі [10], у якій автори зберегли лише один доданок у формулі

(7). Для порівняння на рис. 1 пунктирними лініями наведено точний енергетичний спектр електрона в тому ж квантовому дроті з непроникними стінками.

З рис. 1 видно, що отримані енергетичні спектри мають якісно однаковий вигляд. Величини енергій електрона в моделі безмежно глибокої потенціальної ями є значно вищими за відповідні значення, одержані наближеними методами для квантової ями скінченної глибини. Така відмінність є тим більшою, чим більший ексцентриситет еліпса і чим вище знаходяться рівні в енергетичній шкалі. Наближені розв'язки [10] для всіх станів дають менші значення енергій ніж результати числового розв'язування рівняння Шредингера [13], але в ділянці $1 < a/b < 2$ результати, отримані різними методами, збігаються. В ЕКД з $2 < a/b < 3$ найбільша відмінність в енергіях становить 15%, хоча енергії багатьох станів відрізняються не більше ніж на 3–5%.

Отже, для дослідження еліптичних квантових дротів зі скінченною висотою потенціального бар'єра й ексцентриситетом $\varepsilon = f/a < 0.7$ достатньо зберігати один доданок у розкладі (7), який становить основну частину у формуванні цього квантового стану.

Використовуючи стандартні граничні умови для хвильової функції та густини потоку ймовірності на еліптичній межі поділу середовищ, отримуємо дисперсійні рівняння для знаходження енергій парних і непарних станів електрона в еліптичному квантовому дроті

$$\frac{1}{\mu_0} \frac{J e'_m(q_0, \xi)}{J e_m(q_0, \xi)} \Big|_{\xi=\xi_0} = \frac{1}{\mu_1} \frac{K e'_m(q_1, \xi)}{K e_m(q_1, \xi)} \Big|_{\xi=\xi_0}, \quad (19)$$

$$\frac{1}{\mu_0} \frac{J o'_m(q_0, \xi)}{J o_m(q_0, \xi)} \Big|_{\xi=\xi_0} = \frac{1}{\mu_1} \frac{K o'_m(q_1, \xi)}{K o_m(q_1, \xi)} \Big|_{\xi=\xi_0}, \quad (20)$$

де $q_1 = f^2 \mu_1 (E - V) / 2\hbar^2 < 0$.

III. АНАЛІЗ ТА ОБГОВОРЕННЯ РЕЗУЛЬТАТІВ ЧИСЛОВИХ РОЗРАХУНКІВ

A. Еліптичний дрот GaAs з непроникними стінками.

На рис. 2а наведено результати розрахунку енергій розмірного квантування електрона в ЕКД GaAs з непроникними стінками залежно від співвідношення півосей еліпса a/b при сталій його площі (радіус рівновеликого з еліпсом кола $R_0 = 10$ нм). Ефективна маса електрона $\mu_0 = 0.067m_e$, m_e — маса вільного електрона. Парні стани зображено суцільними лініями, непарні — штриховими. Для порівняння на рис. 2б наведено розрахунки енергетичного спектра електрона в квантовому дроті прямокутного перерізу (рівновеликому з еліптичним) за формулою

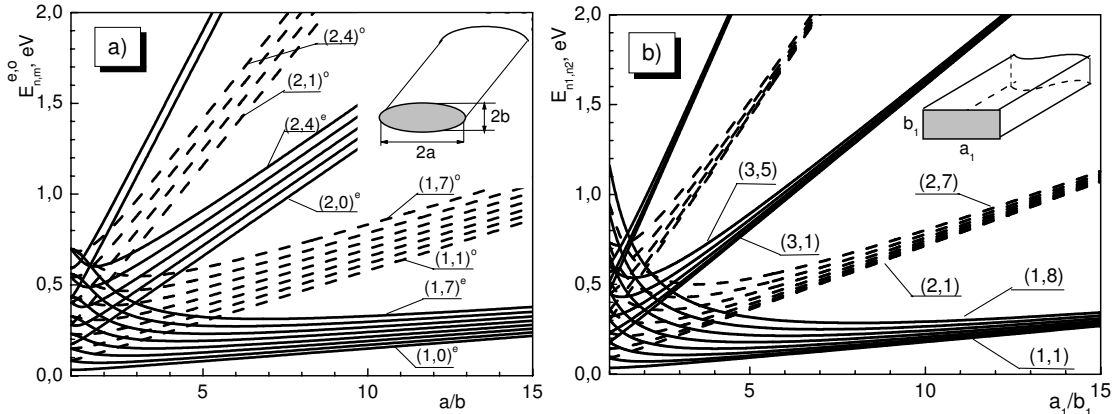


Рис. 2. Залежність енергетичного спектра електрона в еліптичному (а) та в прямокутному (б) квантових дротах GaAs однакової площі поперечного перетину від співвідношення a/b .

$$E_{n_1 n_2} = \frac{\pi^2 \hbar^2}{2\mu_0} \left(\frac{n_1^2}{b_1^2} + \frac{n_2^2}{a_1^2} \right), \quad (21)$$

де a_1, b_1 — поперечні розміри квантового дроту.

З рисунка 2а видно, що парні та непарні стани утворюють серії рівнів, причому енергії парних станів розташовані нижче в енергетичній шкалі за відповідні енергії непарних станів. Найнижчу енергію має парний стан $(1,0)^e$, який залишається невиродженим при $a/b = 1$.

Якісно подібний спектр спостерігаємо у квантовому дроті прямокутного перерізу (рис. 2б). Добрий кількісний збіг величин енергій електрона в ЕКД з відповідними енергіями у квантовому дроті прямокутного поперечного перетину спостерігаємо тільки для декількох нижніх енергетичних рівнів при невеликих значеннях асиметрії a/b . Збільшення співвідношення a/b при постійній площі поперечного перерізу дроту приводить до створення квазінеперервних зон енергії як у ЕКД, так і в квантовому дроті прямокутного перерізу. У граничному випадку, коли еліпс вироджується в коло ($a/b = 1$), а прямокутник — у квадрат, спостерігаємо двохкратне виродження всіх збуджених електронних енергетичних рівнів.

В. Еліптичний дріт GaAs/Al_xGa_{1-x}As.

На рис. 3 наведено результати розрахунку залежності електронного енергетичного спектра в ЕКД GaAs/Al_xGa_{1-x}As від співвідношення a/b (суцільні лінії). Обчислювали енергії E_{nm}^e, E_{nm}^o за формулами (19,20) для електрона в ЕКД GaAs/Al_xGa_{1-x}As з такими параметрами напівпровідникових кристалів: $x = 0.4$, $\mu_1 = (0.067 + 0.083x)\mu_e$ — ефективна маса електрона в напівпровіднику Al_xGa_{1-x}As, $V = 0.57(1.55x + 0.37x^2)$ eV — висота потенціального бар'єра для електрона, $a_{\text{GaAs}} = 0.565$ нм — стала

ґратки GaAs. Для порівняння пунктирними лініями наведено енергетичний спектр в ЕКД GaAs з непроникними стінками.

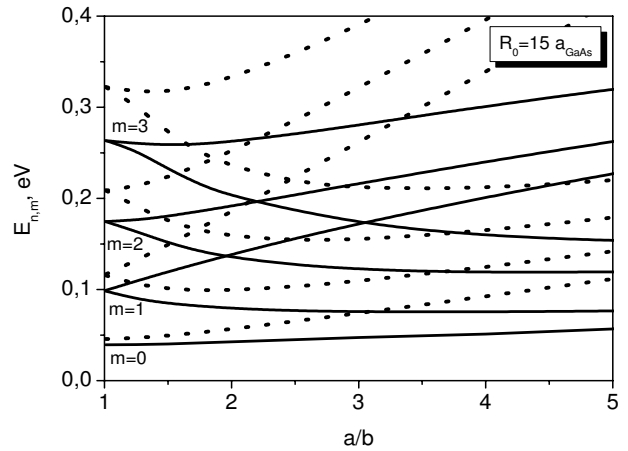


Рис. 3. Залежність енергетичного спектра електрона в ЕКД GaAs/Al_xGa_{1-x}As від співвідношення a/b (суцільні лінії). Пунктирні лінії — енергетичний спектр в еліптичний потенціальної ямі з безмежними стінками.

З рисунка видно таке. Енергії всіх парних та непарних станів електрона в безмежно глибокій потенціальної ямі знаходяться вище за відповідні енергії в ЕКД з скінченним потенціальним бар'єром V на межі поділу середовищ, оскільки розмірне квантування спектра квазічастинки в наносистемі з непроникними стінками проявляється сильніше. При співвідношенні $a/b \approx 1$ відмінність у величинах відповідних енергій електрона в безмежній та скінченній потенціальних ямах для розглядової наносистеми не перевищує 10%. Збільшення співвідношення a/b приводить до значного зростання цієї поправки. Отже, для квантових дротів із малим ексцентриситетом при дослідженні

глибоких електронних енергетичних рівнів можливе застосування моделі безмежно глибокої потенціальної ями, але збільшення енергій квантових станів за рахунок зменшення розмірів квантового дроту чи його ексцентриситету приводить до значних похибок в енергетичному спектрі. У такому разі необхідно використовувати модель еліптичної потенціальної ями скінченної глибини.

С. Еліптична нанотрубка GaAs з непроникними стінками.

Еліптична нанотрубка обмежена внутрішнім та зовнішнім еліптичними циліндрами з відповідними півосями a_0, b_0, a_1, b_1 . Оскільки обидва циліндри характеризуються однаковою величиною фокусної відстані f , то $b_0 = \sqrt{a_0^2 - f^2}$ і $b_1 = \sqrt{a_1^2 - f^2}$. Отже, геометрія еліптичної нанотрубки повністю визначається таким набором параметрів: f, a_0 та $\Delta a = a_1 - a_0$.

Для дослідження еволюції спектра розмірного квантування електрона в еліптичній нанотрубі при зміні її геометричної форми розглянемо залежності енергій від a_0 при сталих f і Δa та від f при сталих a_0 і Δa .

перетинів серії нанотрубок з $f = 5a_{\text{GaAs}}, \Delta a = 5a_{\text{GaAs}}$ та $a_0 = 5, 5.5, 6, 7, 15, 20 a_{\text{GaAs}}$.

З рис. 4 видно, що у випадку $a_0 \rightarrow f$ ($b_0 \rightarrow 0$) нанотрубка вироджується в суцільний еліптичний квантовий дріт (додаток 1а) і електронний енергетичний спектр нанотрубки прямує до спектра у відповідному суцільному квантовому дроті. Збільшення величини a_0 при $f = \text{const}$ приводить до швидкого виродження ЕНН в нанотрубку кругового перерізу (додаток 1 г,д,е), у результаті цього енергії парних та непарних станів, отриманих за формулами (17, 18), зближаються між собою і наближаються до значень енергій у циліндричній нанотрубі. Подальше збільшення величини a_0 спричиняє виродження енергій за квантовим числом m , і отримуємо енергетичний спектр електрона в плоскій напівпровідниковій плівці товщиною Δa , який характеризується одним квантовим числом n .

При $a_0 = 100a_{\text{GaAs}}$, коли еліптичність квантового дроту є дуже малою ($a_0/b_0 = 1.0013$), зсув енергетичних рівнів циліндричної нанотрубки щодо відповідних рівнів в ЕНН перевищує 1 меВ навіть для станів з $n = 1$ (див. вставку на рис. 4), тобто дорівнює величині, яку ще можна встановити експериментально. Отже, за зміщенням енергетичних рівнів можна оцінити величину еліптичності квантового дроту, а значить, і величину одновісного тиску, що призводить до цієї деформації.

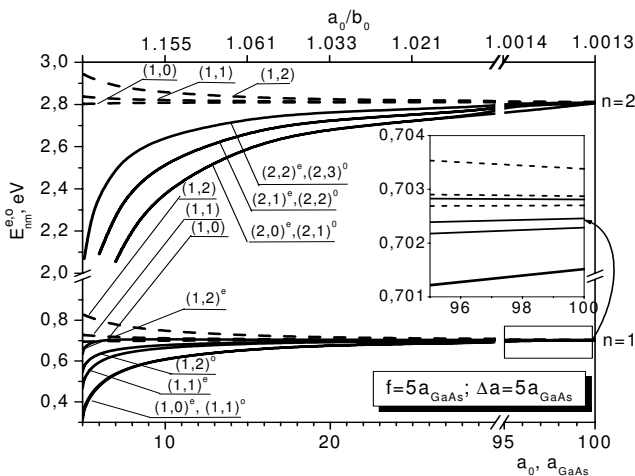


Рис. 4. Залежність енергетичного спектра електрона в ЕНН (суцільні лінії) та циліндричній нанотрубі (штрихові лінії) від величини a_0 при постійній товщині $\Delta a = 5a_{\text{GaAs}}$.

На рис. 4 показано залежність енергетичного спектра електрона в нанотрубі від a_0 при $f = 5a_{\text{GaAs}}$ і $\Delta a = 5a_{\text{GaAs}}$ (суцільні лінії). Для порівняння штриховими лініями наведено електронний спектр у відповідній нанотрубі кругового перерізу з внутрішнім радіусом a_0 та товщиною $\Delta a = 5a_{\text{GaAs}}$. Для наочності в додатку 1 показано схематичні зображення поперечних

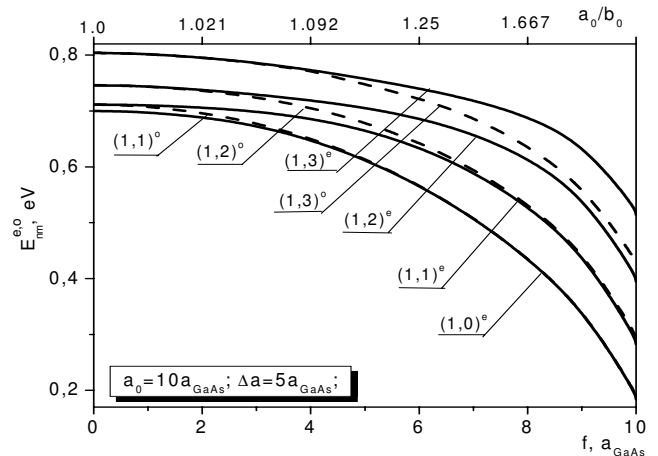


Рис. 5. Залежність енергетичного спектра електрона в нанотрубі від величини фокусної відстані еліптичних циліндрів, що обмежують ЕНН GaAs. Суцільні лінії — парні стани, штрихові — непарні.

На рис. 4 також видно, що енергії парних станів $(n, m)^e$ близькі або навіть збігаються з енергіями непарних станів $(n, m + 1)^o$. Таку поведінку спектра можна зрозуміти, проаналізувавши рис. 5.

На рис. 5 показано залежність енергетичного спектра електрона в нанотрубі від f при $a_0 = 10a_{\text{GaAs}}$ і $\Delta a = 5a_{\text{GaAs}}$ (серію перерізу нанотрубок з різними величинами f наведено в додатку 2). З рис. 5 видно, що при $f = 0$ (нанотрубка кругового перерізу) енергії

парних та непарних станів збігаються. Зі збільшенням величини фокусної відстані всі енергетичні рівні зміщуються в ділянку менших енергій, що пояснюється зменшенням розмірного квантування, оскільки, як видно з додатка 2, зростає величина Δb . Енергії непарних станів спадають швидше і наближаються до сусідніх парних станів з меншим на одиницю значенням квантового числа m .

У граничному випадку $f = a_0$ (додаток 2e) ЕНН вироджується в еліптичний квантовий дріт з півосями $a_1 = a_0 + \Delta a$, $b_1 = (a_1^2 - f^2)^{1/2}$. При цьому енергетичні рівні парних станів знаходяться нижче за відповідні рівні непарних станів, так як це і повинно бути для еліптичного квантового дроту (рис. 2a). Різниця між енергіями відповідних парних та непарних станів буде тим менша, чим ближчим до кола буде еліпс з півосями a_1 і b_1 .

Спектри електронів у ЕКД та ЕНН отримані при величині поздовжнього квазіімпульсу $k_z = 0$. При $k_z \neq 0$, внаслідок вільного руху електрона вздовж квантового дроту, одержуємо відповідні енергетичні зони. Аналогічні розрахунки можна виконати і для дірок, що дасть змогу оцінити енергії міжзонних переходів. Таких розрахунків не виконували, оскільки авторам на сьогодні не відомі експериментальні дані, з якими можна зіставити результати теорії. Обмеживши рух електрона вздовж осі Oz плоскими непроникними межами, з отриманих результатів можна знайти дискретний спектр електрона в плоских еліптичних

квантових точках та еліптичних квантових кільцях, адитивно додавши енергію додаткового поздовжнього квантування.

IV. ВИСНОВКИ

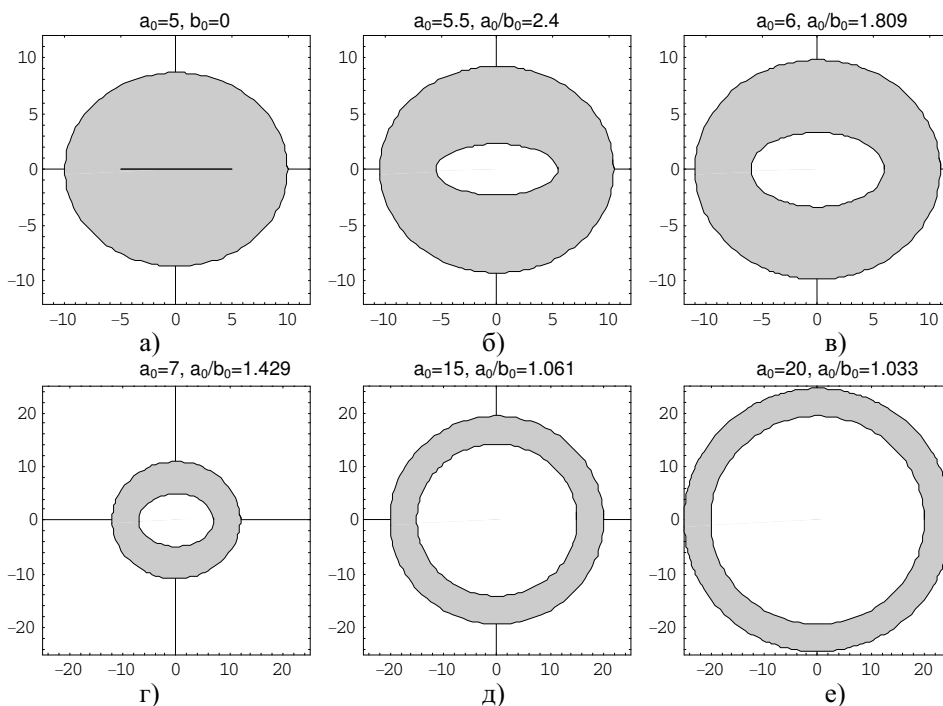
В еліптичній системі координат є точні розв'язки рівняння Шредингера для електрона в еліптичному квантовому дроті та еліптичній нанотрубці з непроникними стінками.

Енергетичний спектр електрона складається із серій енергетичних рівнів, що відповідають парним та непарним станам електрона. Навіть незначна еліптичність квантового дроту та нанотрубки помітно впливає на енергетичний спектр квазічастинок у ній. Це створює можливість визначити величину одновісного тиску за зміщенням енергетичних рівнів квазічастинок.

Наближений розрахунок енергетичного спектра квазічастинки в ЕКД зі скінченною глибиною потенціальної ями методом розділення змінних в еліптичних координатах можна використовувати при $a/b < 2$. При більших значеннях ексцентриситету цей метод дає занижені значення енергій. Використовуючи точні розв'язки в моделі безмежно глибокої потенціальної ями, можна отримати лише грубі оцінки величин енергій для найнижчих електронних енергетичних рівнів в ЕКД $\text{GaAs}/\text{Al}_x\text{Ga}_{1-x}\text{As}$.

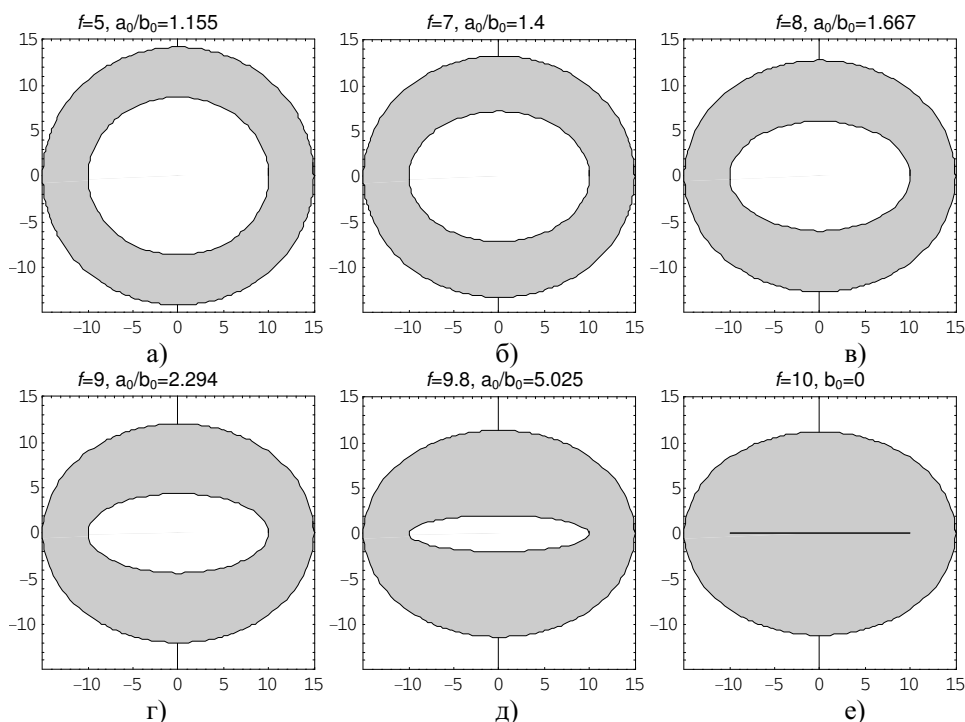
Додаток 1

Геометричний вигляд серії нанотрубок з $f = 5a_{\text{GaAs}}$, $\Delta a = 5a_{\text{GaAs}}$ та $a_0 = 5, 5.5, 6, 7, 15, 20 a_{\text{GaAs}}$.



Додаток 2

Геометричний вигляд серії нанотрубок з $a_0 = 10a_{\text{GaAs}}$, $\Delta a = 5a_{\text{GaAs}}$ та $f=5, 7, 8, 9, 9.8, 10 a_{\text{GaAs}}$.



- [1] М. В. Ткач, *Спектри і взаємодія квазічастинок у наногетеросистемах* (Руга, Чернівці, 2003).
- [2] J. Hu, Y. Bando, Z. Liu, T. Sekiguchi, D. Golberg, J. Zhan, *J. Am. Chem. Soc.* **125**, 11306 (2003).
- [3] P. Mohan, J. Motohisa, T. Fukui, *Appl. Phys. Lett.* **88**, 133105 (2006).
- [4] P. Mohan, J. Motohisa, T. Fukui, *Appl. Phys. Lett.* **88**, 013110 (2006).
- [5] J. Noborisaka, J. Motohisa, S. Hara, T. Fukui, *Appl. Phys. Lett.* **87**, 093109 (2005).
- [6] D. F. Urban, J. Burki, A. I. Yanson, I. K. Yanson, C. A. Stafford, J. M. van Ruitenbeek, H. Grabert, *Solid State Commun.* **131**, 609 (2004).
- [7] I. M. Bejenari, V. G. Kantser, M. Myronov, O. A. Myronov, D. R. Leadley, *Semicond. Sci. Technol.* **19**, 106 (2004).
- [8] V. Seleznev, H. Yamaguchi, Y. Hirayama, V. Prinz, *Jpn. J. Appl. Phys.* **42**, L791 (2003).
- [9] G. Cantele, D. Ninno, G. Iadonisi, *J. Phys.: Cond. Matt.* **12**, 9019 (2000).
- [10] M. van den Broek, F. M. Peeters, *Physica E* **11**, 345 (2001).
- [11] V. A. Holovatsky, O. M. Voitsekhivska, M. J. Mikhalyova, M. M. Tkach, *Condens. Matter. Phys.* **3**, 863 (2000).
- [12] А. Б. Мигдал, *Качественные методы в квантовой теории* (Наука, Москва, 1975).
- [13] L. C. Lew Yan Voon, C. Galeriu, M. Willatzen, *Physica E* **18**, 547 (2003).
- [14] M. Abramowitz, I. Stegun, *Handbook of Mathematical Functions* (New York, Dover Publications, 1974).
- [15] J. C. Gutierrez-Vega, S. Chavez-Cerda, A. Meneses-Nava, R. M. Rodriguez-Dagnino, *Theory and numerical analysis of the Mathieu functions* (Monterrey, NL, Mexico, 2003).

В. А. ГОЛОВАЦЬКИЙ, В. І. ГУЦУЛ

**ELECTRON ENERGY SPECTRUM IN ELLIPTIC QUANTUM WIRE
AND ELLIPTIC NANOTUBE**

V. A. Holovatsky, V. I. Gutsul

Chernivtsi National University, 2 Kotsubynsky St., Chernivtsi, UA-58012, Ukraine

E-mail: theorphys@chnu.cv.ua

Within the effective mass approximation, the electron energy spectrum in elliptic quantum wire (EQW) and elliptic semiconductor nanotube (ESN) is investigated. The exact electron energy spectrum in EQW and ESN GaAs with hard walls and approximate solution of the Schrödinger equation at the finite height of the potential barrier in EQW GaAs/Al_xGa_{1-x}As are obtained. It is shown that the ellipticity of a quantum wire and a nanotube leads to the breaking of the degeneration quasiparticle energy spectrum. The dependencies of the energy of odd and even electron states on the ratio semiaxes have a nonmonotonous character. In the limited case of the degeneracy of elliptic quantum wires and elliptic nanotubes into circle ones the quasiparticle energy spectrum coincides with the corresponding quasiparticle spectrum in cylindrical nanosystems.